

**ЕКСПЕРИМЕНТАЛЬНА  
І КЛІНІЧНА**  
**МЕДИЦИНА**



**2009 № 2**

18  05  
ХНМУ

## ЗМІСТ

### ТЕОРЕТИЧНА І ЕКСПЕРИМЕНТАЛЬНА МЕДИЦИНА

<i>Н.А. Клименко, Е.А. Павлова, И.В. Сорокина. Морфофункциональные особенности тканей перибронхиальных лимфатических узлов и селезенки при острой сердечной недостаточности .....</i>	4
<i>Г.Ю. Пишнов, М.М. Діденко, І.В. Завгородній. Особливості морфологічних змін у внутрішніх органах щурів під впливом хронічного стресу різного рівня .....</i>	10
<i>Ю.В. Волкова, В.В. Давыдов. Влияние иммобилизационного стресса на свободнорадикальное окисление белков и липидов в субклеточных фракциях печени крыс разного возраста .....</i>	16
<i>О.Г. Берченко, В.П. Курочка. Роль olfactory в лимбико-нейрокортикалных механизмах агрессивного поведения .....</i>	23
<i>М.О. Иваненко, Е.В. Кузьменко. Нарушения циркадных ритмов основных гомеостатических систем у онкологических больных .....</i>	28
<i>І.Г. Кушнір, Г.І. Кокощук. Вплив ципралексу та мелатоніну на циркадний ритм ексcretорної функції нирок за умов тривалого постійного освітлення .....</i>	35
<i>Н.М. Волкова. Вікові особливості автономної регуляції при формуванні метеотропних реакцій в експерименті .....</i>	39
<i>Л.А. Сиротенко, Н.М. Бречка. Постнатальний розвиток самців щурів під впливом введення в пренатальному періоді інгібіторів фосфодієстеразної активності .....</i>	43
<i>О.В. Мужичук, Н.І. Афанас'єва. Роль структурно-функціонального стану паренхіми щитовидної залози в тиреоїдному канцерогенезі .....</i>	47
<i>Ю.І. Губський, О.В. Вельчинська, Н.І. Шарікіна. Хімія фторотану і протипухлинна активність його нових похідних .....</i>	54
<i>Н.В. Киреев. Зависимость острой токсичности и диуретической активности от химической структуры 8-моносзамещенных 3-метилксантинов .....</i>	59
<i>Т.В. Звягинцева, С.И. Миронченко, Е.В. Желнин. Фотозащитное действие альтана и мази тиотриазолина в эксперименте .....</i>	63
<i>М.В. Савохина. Изучение жаропонижающего действия метакрукса .....</i>	68
<i>О.М. Литвинова. Протисудомна активність похідних оксамінових кислот .....</i>	71
<i>А.В. Лупір. Вплив фліксоназе на мікробний пейзаж хворих на поліпозитній риносинуїт після поліпоетмії .....</i>	74
<i>О.А. Наконечна. Вплив простих поліефірів на вміст біогенних амінів і їх попередників у головному мозку експериментальних тварин .....</i>	79
<b>ТЕРАПІЯ</b>	
<i>Л.В. Журавлева, Е.М. Кривоносова, Н.Н. Котовщикова. Медикаментозная терапия артериальной гипертензии у больных с сопутствующей патологией .....</i>	82
<i>Н.П. Копица, О.В. Петюнина. Значение тропонинов при диагностике острого коронарного синдрома и прогнозировании его осложнений .....</i>	89
<i>Ю.Г. Горб. Патогенетичні основи та медикаментозна корекція післяінфарктного ремоделювання лівого шлуночка .....</i>	93

## ХІМІЯ ФТОРОТАНУ І ПРОТИПУХЛИННА АКТИВНІСТЬ ЙОГО НОВИХ ПОХІДНИХ

**Ю.І. Губський, О.В. Вельчинська, Н.І. Шарикіна\***

*Національний медичний університет ім. О.О. Богомольця, м. Київ*

*\*Інститут фармакології та токсикології АМН України, м. Київ*

Описано новий препаративний метод синтезу моно- та біс-похідних фторотану з фарма-кофорними групами  $=C=CBrCl$ ,  $-CF_2-CHBrCl$ ,  $-(HO)C=CBrCl$ , які отримано на основі фторотану та 5(6)-заміщених урацилів у молярному співвідношенні 1 : 2 та 1 : 1 у системі розчинників (бензол-диметилформамід-діетиловий ефір) в умовах міжфазного каталізу дibenzo-18-краун-6-ефіром. Будову та склад синтезованих сполук підтверджено даними елементного аналізу,  $^1\text{H}$  ЯМР-спектроскопії, а індивідуальність – методами тонкошарової та газорідинної хроматографії. Виявлено значний протипухлинний ефект біс-похідного фторотану та 5-метилурацилу на гетеротрансплантах злюкісної гліоми людини з гальмуванням пухлинного росту 29,8 % (критерій значущості  $\geq 25\%$ ).

**Ключові слова:** 5-метилурацикл, 6-метилурацикл, фторотан, краун-ефір, пухлина.

Як вважають клініцисти, фторотан (2-брому-1,1,1-трифторм-2-хлоретан) є найбільш зручним лікарським засобом, який дає позитивні результати при операційних втручаннях у онкологічних хворих [1, 2]. Крім того, молекула фторотану поліфункціональна, його можна використовувати в якості фторвмісного синтону при синтезі біологічно активних сполук.

Введення галогеновмісних, особливо фторвмісних, фармацевтических молекул приводить до підвищення розчинності цих сполук в ліпідах і робить лікарські засоби ефективнішими у зв'язку із легкістю їх транспортування в організмі [3]. Зазначена увага до фторвмісних фрагментів у модифікованих молекулах викликана також підсиленням антиметаболітних властивостей цих сполук. Одним із найактуальніших шляхів пошуку засобів лікування пухлинної хвороби залишається синтез біологічно активних сполук з потенційними протипухлинними властивостями та створення на їх основі нових антиметаболітів піримідинового обміну, здатних впливати на структуру та функції нуклеїнових кислот [4–6]. Відомо, що пухлинні клітини використовують молекули урацилу активніше, ніж нормальні клітини. Тому 5-фторурацикл або його похідні будуть виконувати роль субстрату та/або інгібітора ферментів і переважно поглинаються тканинами пухлини.

Раніше нами було досліджено та описано метод введення до структури гідроксипіримідинів фармацевтическої групи  $-CF_2-CHBrCl$  при використанні в якості фторвмісного синтону фторотану. Гідроксипіримідини в реакціях з фторотаном поводять себе подібно до фенолів і утворюють відповідні ефири [7].

Даний метод синтезу нових похідних фторотану перенесено і досліджено нами на 5(6)-заміщених урацилах, що дозволило виявити нову стратегію для синтезу селективно поліфункциональних і потенційно біологічно активних молекул, створених на основі відомого інгаляційного анестетика фторотану.

Метою даної роботи було означення преформованих піримідинів, їх синтез на основі фторотану та 5(6)-заміщених урацилів, вивчення фізико-хімічних і біологічних властивостей.

**Матеріал і методи.** Досліджували нові моно- та біс-похідні, синтезовані на основі фторотану та 5(6)-заміщених урацилів. Абсолютні розчинники одержували наступним способом: ацетонітрил переганяли над  $P_2O_5$ , діетиловий ефір – над металевим натрієм, диметилформамід і бензол – у вакуумі. Індивідуальність синтезованих сполук контролювали методом тонкошарової хроматографії на пластинах Silufol-254 у системі ацетонітрил-гексан 2 : 1. Інфрачервоні ( $^1\text{H}$ ) спектри записували на спектрофотометрі UR-20 (виробник «Charles Ceise Непа», ФРН). Газорідинну хроматографію проводили на ГРХ «Perkin Elmer» з УФ-детектором (виробник «Perkin», ФРН). Спектри  $^1\text{H}$  ядерно-магнітного резонансу (ЯМР) записували на приладах «Bruker WP-200» (виробник «Bruker», Швейцарія), «Varian T-60» (виробник «Varian», США) з робочою частотою 200–132 МГц у  $DMSO-d_6$  з використанням тетраметилсилану як внутрішнього стандарту.

Монопохідні урацилів I–X отримували наступним чином:  $N_{(1)}-(1', 1'-діфторм-2'-брому-2'-хлоретил)-5$ -метилурацикл (I),  $N_{(1)}-(2'-брому-1'-гідрокси-2'-хлоретеніл)-5$ -метилурацикл (VI).

*Приготування розчину № 1.* 0,44 г гідроксиду калію (0,0079 моль); 0,044 г дibenzo-

18-краун-6-ефіру в 20 мл сухого бензолу перемішують при температурі 60 °C 15 хв до утворення на стінках хімічного реактора білого полімерного нальоту – калієвого комплексу з дібензо-18-краун-6-ефіром. Отриманий розчин охолоджують до кімнатної температури, додають до нього краплями розчин 1,57 г (0,84 мл; 0,0079 моль) фторотану в 20 мл сухого ефіру. Приготування розчину № 2. 1,0 г (0,0079 моль) 5-метилурацилу розчиняють в 40 мл сухого диметилформаміду при температурі 60 °C в окремому хімічному посуді. Гарячий розчин № 2 додають краплями через ділильну лійку до розчину № 1, перемішують при температурі 60–80 °C 5 год (реакційна суміш помутніла та набула червоно-коричневого забарвлення), фільтрують у гарячому стані, охолоджують, відганяють розчинники. Залишок – осад промивають 30 мл суміші діетиловий ефір–гексан (1 : 1), сушать у вакуумі водострумного насоса. Сполука I – кристалічний осад кремового забарвлення. Вихід 0,76 г (32 %). Т<sub>топл.</sub> 277–280 °C. Знайдено, %: C 26,9; H 1,88; N 9,19; Br 26,21. C<sub>7</sub>H<sub>6</sub>BrClF<sub>2</sub>N<sub>2</sub>O<sub>2</sub>. Обчислено, %: C 27,7; H 1,99; N 9,23; Br 26,32. ІЧ-спектр (KBr), см<sup>-1</sup>: 550–690 (C-Hal); 1710, 1750 (C=O); 2820–3000 (CH<sub>3</sub>). <sup>1</sup>H ЯМР: 1,74 (3H, с., CH<sub>3</sub>); 7,26 (H, с., C<sub>(5)</sub>H); 10,62 (H, с., 2N<sub>(3)</sub>H). Сполука VII – кристалічний осад кремового забарвлення. Вихід 0,16 г (15 %). Т<sub>топл.</sub> 274–277 °C. Знайдено, %: C 30,12; H 2,08; N 9,87. C<sub>7</sub>H<sub>6</sub>BrClN<sub>2</sub>O<sub>3</sub>. Обчислено, %: C 29,9; H 2,2; N 10,0. ІЧ-спектр (KBr), см<sup>-1</sup>: 550–690 (C-Hal); 1710, 1750 (C=O); 2820–3000 (CH<sub>3</sub>); 3200–3400 (OH). <sup>1</sup>H ЯМР: 1,74 (3H, с., CH<sub>3</sub>); 7,26 (H, с., C<sub>(5)</sub>H); 10,62 (H, с., 2N<sub>(3)</sub>H); 11,03 (H, с., OH). Сполука III – кристалічний осад кремового забарвлення. Вихід 1,04 г (43 %). Т<sub>топл.</sub> 278–281 °C. Знайдено, %: C 23,2; H 0,89; N 9,08; Br 26,0. C<sub>6</sub>H<sub>3</sub>BrClF<sub>3</sub>N<sub>2</sub>O<sub>2</sub>. Обчислено, %: C 23,4; H 0,98; N 9,10; Br 25,99. ІЧ-спектр (KBr), см<sup>-1</sup>: 550–690 (C-Hal); 1710, 1750 (C=O); 2820–3000 (CH<sub>3</sub>). <sup>1</sup>H ЯМР: 7,229 (H, с., C<sub>(6)</sub>H); 10,582 (H, с., N<sub>(3)</sub>H). Сполука VIII – кристалічний осад кремового забарвлення. Вихід 0,17 г (7,5 %). Т<sub>топл.</sub> 275–276 °C. Знайдено, %: C 25,15; H 1,1; N 9,77. C<sub>6</sub>H<sub>3</sub>BrClFN<sub>2</sub>O<sub>3</sub>. Обчислено, %: C 25,24; H 1,05; N 9,81. ІЧ-спектр (KBr), см<sup>-1</sup>: 550–690 (C-Hal); 1710, 1750 (C=O); 3200–3400 (OH). <sup>1</sup>H ЯМР: 7,229 (H, с., C<sub>(6)</sub>H); 10,582 (H, с., N<sub>(3)</sub>H); 10,976 (H, с., OH). Сполука IV – кристалічний осад кремового забарвлення. Вихід 1,22 г (42 %). Т<sub>топл.</sub> 282–285 °C. Знайдено, %: C 19,24; H 0,80; N 7,48. C<sub>6</sub>H<sub>3</sub>Br<sub>2</sub>ClF<sub>2</sub>N<sub>2</sub>O<sub>2</sub>. Обчислено, %: C 19,56; H 0,82; N 7,60. ІЧ-спектр (KBr), см<sup>-1</sup>: 550–690 (C-Hal); 1710, 1750 (C=O); 2820–3000 (CH<sub>3</sub>); 3200–3400 (OH). <sup>1</sup>H ЯМР: 7,228 (H, с., C<sub>(6)</sub>H); 10,562 (H, с., N<sub>(3)</sub>H). Сполука IX – кристалічний осад кремового забарвлення. Вихід 0,28 г (10,5 %). Т<sub>топл.</sub> 273–276 °C. Знайдено, %: C 20,33; H 0,89; N 7,88. C<sub>6</sub>H<sub>3</sub>BrClN<sub>2</sub>O<sub>3</sub>. Обчислено, %: C 20,80; H 0,87; N 8,08. ІЧ-спектр (KBr), см<sup>-1</sup>: 550–690 (C-Hal); 1710, 1750 (C=O); 3200–3400 (OH). <sup>1</sup>H ЯМР: 7,228 (H, с., C<sub>(6)</sub>H); 10,562 (H, с., N<sub>(3)</sub>H); 10,970 (H, с., OH). Сполука V – кристалічний осад жовтого забарвлення. Вихід 1,26 г (48 %). Т<sub>топл.</sub> 269–271 °C. Знайдено, %: C 21,43; H 0,88; N 12,34. C<sub>6</sub>H<sub>3</sub>BrClF<sub>2</sub>N<sub>3</sub>O<sub>4</sub>. Обчислено, %: C 21,55; H 0,90; N 12,55. ІЧ-спектр (KBr), см<sup>-1</sup>: 550–690 (C-Hal); 1710, 1750 (C=O); 1370–1390 ( $\gamma_{NO_2}$ ); 1550–1580 ( $\gamma_{NO_2}^s$ ). <sup>1</sup>H ЯМР: 7,238 (H, с., C<sub>(6)</sub>H); 10,569 (H, с., N<sub>(3)</sub>H). Сполука X – кристалічний осад жовтого забарвлення. Вихід 0,29 г (12 %). Т<sub>топл.</sub> 264–268 °C. Знайдено, %: C 22,84; H 0,86; N 13,38. C<sub>6</sub>H<sub>3</sub>BrClN<sub>3</sub>O<sub>5</sub>. Обчислено, %: C 23,09; H 0,96; N 13,46. ІЧ-спектр (KBr), см<sup>-1</sup>: 550–690 (C-Hal); 1710, 1750 (C=O); 3200–3400 (OH); 1370–1390 ( $\gamma_{NO_2}$ ); 1550–1580 ( $\gamma_{NO_2}^s$ ). <sup>1</sup>H ЯМР: 7,238 (H, с., C<sub>(6)</sub>H); 10,569 (H, с., N<sub>(3)</sub>H); 10,977 (H, с., OH).

Аналогічно синтезують сполуки: N<sub>(1)</sub>-(1', 1'-дифтор-2'-бром-2'-хлоретил)-6-метилурацил (II), N(1)-(2'-бром-1'-гідрокси-2'-хлоретеніл)-6-метилурацил (VII) із 1,57 г (0,84 мл; 0,0079 моль) фторотану та 1,0 г (0,0079 моль) 6-метилурацилу; N<sub>(1)</sub>-(1', 1'-дифтор-2'-бром-2'-хлоретил)-5-фторурацил (III), N<sub>(1)</sub>-(2'-бром-1'-гідрокси-2'-хлоретеніл)-5-фторурацил (VIII) із 1,57 г (0,84 мл; 0,0079 моль) фторотану та 1,03 г (0,0079 моль) 5-фторурацилу; N<sub>(1)</sub>-(1', 1'-дифтор-2'-бром-2'-хлоретил)-5-бромурацил (IV), N<sub>(1)</sub>-(2'-бром-1'-гідрокси-2'-хлоретеніл)-5-бромурацил (IX) із 1,57 г (0,84 мл; 0,0079 моль) фторотану та 1,51 г (0,0079 моль) 5-бромурацилу; N<sub>(1)</sub>-(1', 1'-дифтор-2'-бром-2'-хлоретил)-5-нітроурацил (V), N<sub>(1)</sub>-(2'-бром-1'-гідрокси-2'-хлоретеніл)-5-нітроурацил (X) із 1,57 г (0,84 мл; 0,0079 моль) фторотану та 1,24 г (0,0079 моль) 5-нітроурацилу. Сполука II – кристалічний осад кремового забарвлення. Вихід 0,73 г (31 %). Т<sub>топл.</sub>

280–283 °C. Знайдено, %: C 27,5; H 1,9; N 9,3; Br 26,25. C<sub>7</sub>H<sub>6</sub>BrClF<sub>2</sub>N<sub>2</sub>O<sub>2</sub>. Обчислено, %: C 27,7; H 1,99; N 9,23; Br 26,32. ІЧ-спектр (KBr), см<sup>-1</sup>: 550–690 (C-Hal); 1710, 1750 (C=O); 2820–3000 (CH<sub>3</sub>). <sup>1</sup>H ЯМР: 1,74 (3H, с., CH<sub>3</sub>); 7,26 (H, с., C<sub>(5)</sub>H); 10,62 (H, с., 2N<sub>(3)</sub>H). Сполука VII – кристалічний осад кремового забарвлення. Вихід 0,16 г (15 %). Т<sub>топл.</sub> 274–277 °C. Знайдено, %: C 30,12; H 2,08; N 9,87. C<sub>7</sub>H<sub>6</sub>BrClN<sub>2</sub>O<sub>3</sub>. Обчислено, %: C 29,9; H 2,2; N 10,0. ІЧ-спектр (KBr), см<sup>-1</sup>: 550–690 (C-Hal); 1710, 1750 (C=O); 2820–3000 (CH<sub>3</sub>); 3200–3400 (OH). <sup>1</sup>H ЯМР: 1,74 (3H, с., CH<sub>3</sub>); 7,26 (H, с., C<sub>(5)</sub>H); 10,62 (H, с., 2N<sub>(3)</sub>H); 11,03 (H, с., OH). Сполука III – кристалічний осад кремового забарвлення. Вихід 1,04 г (43 %). Т<sub>топл.</sub> 278–281 °C. Знайдено, %: C 23,2; H 0,89; N 9,08; Br 26,0. C<sub>6</sub>H<sub>3</sub>BrClF<sub>3</sub>N<sub>2</sub>O<sub>2</sub>. Обчислено, %: C 23,4; H 0,98; N 9,10; Br 25,99. ІЧ-спектр (KBr), см<sup>-1</sup>: 550–690 (C-Hal); 1710, 1750 (C=O); 3200–3400 (OH). <sup>1</sup>H ЯМР: 7,229 (H, с., C<sub>(6)</sub>H); 10,582 (H, с., N<sub>(3)</sub>H). Сполука VIII – кристалічний осад кремового забарвлення. Вихід 0,17 г (7,5 %). Т<sub>топл.</sub> 275–276 °C. Знайдено, %: C 25,15; H 1,1; N 9,77. C<sub>6</sub>H<sub>3</sub>BrClFN<sub>2</sub>O<sub>3</sub>. Обчислено, %: C 25,24; H 1,05; N 9,81. ІЧ-спектр (KBr), см<sup>-1</sup>: 550–690 (C-Hal); 1710, 1750 (C=O); 3200–3400 (OH). <sup>1</sup>H ЯМР: 7,229 (H, с., C<sub>(6)</sub>H); 10,582 (H, с., N<sub>(3)</sub>H); 10,976 (H, с., OH). Сполука IV – кристалічний осад кремового забарвлення. Вихід 1,22 г (42 %). Т<sub>топл.</sub> 282–285 °C. Знайдено, %: C 19,24; H 0,80; N 7,48. C<sub>6</sub>H<sub>3</sub>Br<sub>2</sub>ClF<sub>2</sub>N<sub>2</sub>O<sub>2</sub>. Обчислено, %: C 19,56; H 0,82; N 7,60. ІЧ-спектр (KBr), см<sup>-1</sup>: 550–690 (C-Hal); 1710, 1750 (C=O); 3200–3400 (OH). <sup>1</sup>H ЯМР: 7,228 (H, с., C<sub>(6)</sub>H); 10,562 (H, с., N<sub>(3)</sub>H). Сполука IX – кристалічний осад кремового забарвлення. Вихід 0,28 г (10,5 %). Т<sub>топл.</sub> 273–276 °C. Знайдено, %: C 20,33; H 0,89; N 7,88. C<sub>6</sub>H<sub>3</sub>BrClN<sub>2</sub>O<sub>3</sub>. Обчислено, %: C 20,80; H 0,87; N 8,08. ІЧ-спектр (KBr), см<sup>-1</sup>: 550–690 (C-Hal); 1710, 1750 (C=O); 3200–3400 (OH). <sup>1</sup>H ЯМР: 7,228 (H, с., C<sub>(6)</sub>H); 10,562 (H, с., N<sub>(3)</sub>H); 10,970 (H, с., OH). Сполука V – кристалічний осад жовтого забарвлення. Вихід 1,26 г (48 %). Т<sub>топл.</sub> 269–271 °C. Знайдено, %: C 21,43; H 0,88; N 12,34. C<sub>6</sub>H<sub>3</sub>BrClF<sub>2</sub>N<sub>3</sub>O<sub>4</sub>. Обчислено, %: C 21,55; H 0,90; N 12,55. ІЧ-спектр (KBr), см<sup>-1</sup>: 550–690 (C-Hal); 1710, 1750 (C=O); 1370–1390 ( $\gamma_{NO_2}$ ); 1550–1580 ( $\gamma_{NO_2}^s$ ). <sup>1</sup>H ЯМР: 7,238 (H, с., C<sub>(6)</sub>H); 10,569 (H, с., N<sub>(3)</sub>H). Сполука X – кристалічний осад жовтого забарвлення. Вихід 0,29 г (12 %). Т<sub>топл.</sub> 264–268 °C. Знайдено, %: C 22,84; H 0,86; N 13,38. C<sub>6</sub>H<sub>3</sub>BrClN<sub>3</sub>O<sub>5</sub>. Обчислено, %: C 23,09; H 0,96; N 13,46. ІЧ-спектр (KBr), см<sup>-1</sup>: 550–690 (C-Hal); 1710, 1750 (C=O); 3200–3400 (OH); 1370–1390 ( $\gamma_{NO_2}$ ); 1550–1580 ( $\gamma_{NO_2}^s$ ). <sup>1</sup>H ЯМР: 7,238 (H, с., C<sub>(6)</sub>H); 10,569 (H, с., N<sub>(3)</sub>H); 10,977 (H, с., OH). Аналогічно синтезують біс-похідні XI, XII: N<sub>(1)</sub>,N<sub>(1')</sub>-(2"-бром-2"-хлоретеніл)-біс-(5-метил-

урацил) (XI) із 0,87 г (0,0044 моль) фторотану в 20 мл сухого ефіру та 1,11 г (0,0088 моль) 5-метилурацилу в 40 мл сухого диметилформаміду при нагріванні реакційної суміші до 60 °C 11,5 год,  $N_{(1)},N_{(1)}\text{-}(2\text{-бром-2\text{-хлоретеніл})-біс-(6-метилурацил)}$  (XII) із 0,87 г (0,0044 моль) фторотану в 20 мл сухого ефіру та 1,11 г (0,0089 моль) 6-метилурацилу в 40 мл сухого диметилформаміду при нагріванні реакційної суміші до 60 °C 6 год. Сполуки XI, XII кристалічні порошки кремового забарвлення, нестійкі до дії гарячого органічного розчинника; при перекристалізації розкладаються до вихідних урацилів. Сполука XI. Вихід 1,2 г (36,8 %).  $T_{\text{топл.}}$  з осмоленням 265–268 °C. Знайдено, %: C 37,60; H 3,08; N 14,53.  $C_{12}H_{10}\text{BrClN}_4O_4$ . Обчислено, %: C 37,1; H 2,58; N 14,38. ІЧ-спектр (KBr), см<sup>-1</sup>: 515, 615 (C-Hal); 1710, 1750 (C=O); 2800, 3000 (CH<sub>3</sub>).  $^1\text{H}$  ЯМР: 1,712 (6H, д.,  $J_{\text{H,H}}^2$  5 Гц, 2CH<sub>3</sub>); 7,229 (2H, д.,  $J_{\text{H,H}}^2$  5 Гц, 2C<sub>(6)</sub>H); 10,7 (2H, уш. с., 2N<sub>(3)</sub>H). Сполука XII. Вихід 1,05 г (43 %).  $T_{\text{топл.}}$  286–289 °C. Знайдено, %: C 38,80; H 3,2; N 14,8.  $C_{12}H_{10}\text{BrClN}_4O_4$ . Обчислено, %: C 37,1; H 2,58; N 14,38. ІЧ-спектр (KBr), см<sup>-1</sup>: 515, 550, 690, 850 (C-C1, C-Br); 960–970 (trans-C=C-); 1710, 1750 (C=O); 2800–3000 (CH<sub>3</sub>).  $^1\text{H}$  ЯМР: 2,004 (6H, с., 2CH<sub>3</sub>); 5,313 (2H, с., 2C<sub>(5)</sub>H); 10,832 (2H, д., 2N<sub>(3)</sub>H,  $J_{\text{H,H}}^4$  9,6 Гц).

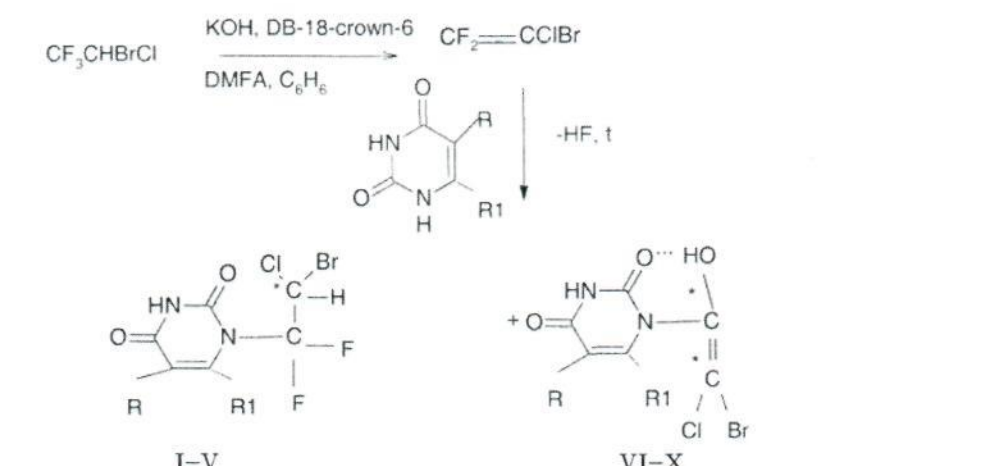
Дослідження протипухлиної активності біс-похідного 5-метилурацилу XI проводили в Інституті фармакології та токсикології АМН України. В дослідах використовували білих нелінійних мишей-самців масою (22,0±2,0) г. Як модель використовували злюкісну гліобластому людини у вигляді гетеротрансплантатів пухлини головного мозку людини (операційний та біопсійний матеріал) в підкапсульному тесті. При лікуванні гліобластоми людини критерієм активності був відсоток

гальмування росту гетеротрансплантата гліоми людини понад 25 %. Курс лікувальних вливань становив 6 введень через добу при внутрішньочеревному шляху введення згідно з правилами введення речовин до організму піддослідних тварин, які рекомендовано Фармакологічним центром МОЗ України, в інтервалі доз 1/4 – 1/5 LD<sub>50</sub>. Результати обраховували через 24 год після закінчення лікування. Під час вивчення специфічної протипухлинної активності біс-похідне 5-метилурацилу XI розчиняли в ізотонічному розчині NaCl.

**Результати та їх обговорення.** За новим, розробленим нами методом синтезу, взаємодією фторотану в якості фторвмісного синтону з 5(6)-заміщеними урацилами в молярному співвідношенні 1 : 2 та 1 : 1 у системі розчинників (бензол-диметилформамід-діетиловий ефір) в умовах міжфазного каталізу дібензо-18-краун-6-ефіром (лужне середовище) синтезовано нові монопохідні фторотану I–Х та його біс-похідні XI, XII з фармафорними групами =C=CBrCl, –CF<sub>2</sub>–CHBrCl, -(HO)C=CBrCl (схеми 1, 2).

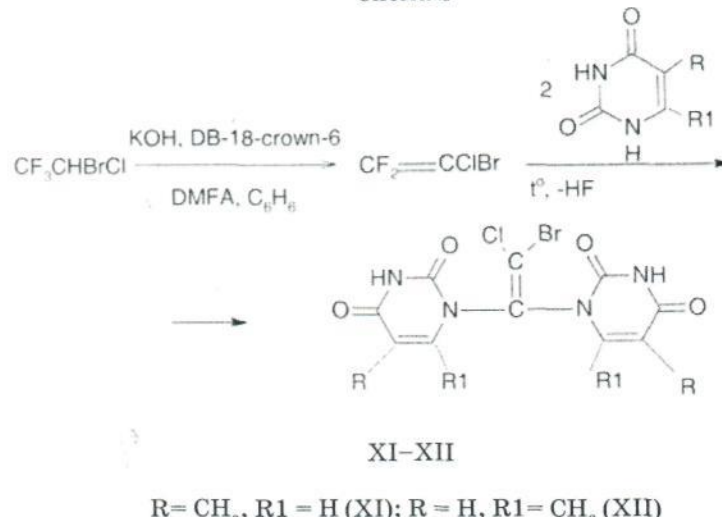
Для подальших досліджень біологічних властивостей відібрано біс-похідне 5-метилурацилу (сполука XI), яке за хімічною будовою та наявністю фармафорних груп є найбільш близьким до відомого протипухлинного лікарського засобу – 5-фторурацилу. Біс-похідне XI було досліджене нами в онкофармакологічних експериментах з використанням пухлини головного мозку людини (операційний та біопсійний матеріал) в підкапсульному тесті. Маса гетеротрансплантата злюкісної гліоми після дії біс-похідного XI зменшилася до (1,85±0,091) мг, що відповідає, за результатами морфологічного контролю, 29,8 % гальмування росту пухлини (прийнятій критерій значущості ≥25 %).

Схема 1



I–V  
 $\text{R}=\text{CH}_3, \text{R}_1=\text{H}$  (I, VI);  $\text{R}=\text{H}, \text{R}_1=\text{CH}_3$  (II, VII);  $\text{R}=\text{F}, \text{R}_1=\text{H}$  (III, VIII);  $\text{R}=\text{Br}, \text{R}_1=\text{H}$  (IV, IX);  
 $\text{R}=\text{NO}_2, \text{R}_1=\text{H}$  (V, X)

Схема 2



При порівняльному гістологічному дослідженні клітинно-тканинних реакцій пухлини під час лікування потенційною протипухлинною сполукою – біс-похідним XI в умовах субклітинного тестування встановлено залежність між вираженими регресивними змінами пухлин і рівнем гальмування їх росту.

Зазначений ефект вважається вираженим щодо перспективи подальшого вивчення біс-похідного XI при пухлинах головного мозку. Отже, можна зробити висновок, що біс-похідне XI, яке має високу протипухлинну активність на моделі експериментального пухлинного росту з використанням злюкісної гліобластоми людини, значно перевищує прийнятій критерій значущості  $\geq 25\%$ , що дозволяє розглядати його як фізіологічно активну сполуку з перспективою подальшого вивчення за вимогами до потенційних протипухлинних засобів для лікування людини.

#### Висновки

- За новим, розробленим нами методом синтезу, взаємодією фторотану в якості фтор-

вмісного синтону та 5(6)-заміщених урацилів у молярному співвідношенні 1 : 2 та 1 : 1 у системі розчинників (бензол–диметилформамід–діетиловий ефір) в умовах міжфазного каталізу дibenzo-18-краун-6-ефіром (лужне середовище) синтезовано нові монопохідні фторотану I–Х та його біс-похідні XI, XII з фармакофорними групами  $=\text{C}=\text{CBrCl}$ ,  $-\text{CF}_2-\text{CHBrCl}$ ,  $-(\text{HO})\text{C}=\text{CBrCl}$ .

- Будову синтезованих сполук I–Х підтверджено даними елементного аналізу, ІЧ-, ЯМР<sup>1</sup>Н-спектроскопії, а індивідуальність – методами тонкошарової та газорідинної хроматографії.

- При використанні пухлини головного мозку людини (операційний та біопсійний матеріал) в підкапсульному тесті за методом Богдана, на підставі результатів експериментально-морфологічних досліджень зареєстровано виражений протипухлинний ефект біс-похідного фторотану та 5-метилурацилу XI з гальмуванням пухлинного росту 29,8 % (критерій значущості  $\geq 25\%$ ).

#### Література

1. Brody G.L., Sweet R.B. Halothane anesthesia as a possible cause of massive hepatic necrosis. *Anesthesiology* 1963; 24: 29–37.
2. Brown B.R., Sipes I.G. Biotransformation and hepatotoxicity of halothane. *Biochem. Pharmacol.* 1977; 26: 2091–94.
3. Ягупольський Л.М. Ароматические и гетероциклические соединения с фторсодержащими заместителями. К.: Наук. думка, 2006: 90–105.
4. Noordhuis P., Holwerda U. 5-fluorouracil incorporation into RNA and DNA in relation to thymidylate synthetase inhibition human colorectal cancer. *Annals. Oncology* 2004; 15: 1025–32.
5. Adjei A. A review of pharmacology and clinical activity of new chemotherapy agents for the treatment of colorectal cancer. *Clin. Pharmacol.* 1999; 48: 265–277.
6. Longey D.B., Harkin D. Paul, Patrick G. Jonson. 5-fluorouracil – mechanisms of action and clinical strategies. *Nature Reviews. Cancer* 2003; 3: 330–338.
7. Вельчинская Е.В., Кузьменко И.Й., Кулик Л.С. Синтез новых производных замещенных урацилов и пиримидинов. *Хим-фарм. журн.* 1999; 3: 40–42.

**ХИМИЯ ФТОРОТАНА И ПРОТИВООПУХОЛЕВАЯ АКТИВНОСТЬ ЕГО НОВЫХ ПРОИЗВОДНЫХ**  
**Ю.И. Губский, Е.В. Вельчинская, Н.И. Шарыкин**

Описан новый препаративный метод синтеза моно- и бис-производных фторотана с фармакофорными группами  $=\text{C}=\text{CBrCl}$ ,  $-\text{CF}_2-\text{CHBrCl}$ ,  $-(\text{HO})\text{C}=\text{CBrCl}$ , которые получены на основе фторотана и 5(6)-замещенных урацилов в молярном соотношении 1 : 2 и 1 : 1 в системе растворителей (бензол-диметилформамид-диэтиловый эфир) в условиях межфазного катализа дibenзо-18-краун-6-эфиром. Строение и состав синтезированных соединений подтверждены данными элементного анализа, ИК-,  $^1\text{H}$  ЯМР-спектроскопии, а индивидуальность – методами тонкослойной и газожидкостной хроматографии. Обнаружен значительный противоопухолевый эффект бис-производного фторотана и 5-метилурацила на гетеротрансплантатах злокачественной gliомы человека с торможением роста опухоли 29,8 % (критерий значимости  $\geq 25\%$ ).

**Ключевые слова:** 5-метилурацил, 6-метилурацил, фторотан, краун-эфир, опухоль.

**CHEMISTRY OF FTOROTAN AND ANTICANCER ACTIVITY OF ITS NEW DERIVATIVES**

**Yu.I. Gubskiy, O.V. Welchinska, N.I. Sharykina**

A new convenient method for the preparation of mono- and bis-derivatives of ftorotan with pharmacophor groups  $=\text{C}=\text{CBrCl}$ ,  $-\text{CF}_2-\text{CHBrCl}$ ,  $-(\text{HO})\text{C}=\text{CBrCl}$ , which obtained on the base of ftorotan and of 5(6)-substituted uracils in moles correlation 1 : 2 and 1 : 1 at the system of solutions (benzene-dimethyl-formamide-diethyl ether) under phase-transfer conditions with dibenzo-18-crown-6-ether as catalyst was described. The structure and composition of synthesized compounds has been confirmed by data of elemental analysis, IR- and  $^1\text{H}$  NMR-spectra. The purity has been tested by method of thin-layer and gas-liquid chromatography. A strongly antitumour effect of bis-derivative of ftorotan and 5-methyluracile on the heterotransplantates of mans glioma cancer with percents of growth relaxation of cancer 29,8 % has been discovered (the criteria of considerable is  $\geq 25\%$ ).

**Key words:** 5-methyluracile, 6-methyluracile, ftorotan, crown-ether, cancer.

Поступила 19.01.09